Date: 16/01/2012 Page: 1/9 Responsable: Jean-Michel PROIX Clé: V6.04.172 Révision: 8236

SSNV172 – Comportements viscoplastiques monocristallins

Résumé:

Ce test permet de valider les comportements mono-cristallins dans une situation uni-axiale. La géométrie traitée est un cube, l'état de contraintes et de déformations est homogène. Afin de tester au mieux les lois de comportement, indépendamment de la définition des systèmes de glissement, on utilise ici un système de glissement particulier, non physique, qui représente un glissement dans une seule direction. Ceci permet de comparer deux des comportements viscoplastiques mono-cristallins, (avec écrouissage cinématique défini par une variable de rappel) au comportement viscoplastique macroscopique de Chaboche.

Pour les autres comportements (en particulier KOCKS RAUCH) on vérifie seulement la non régression des résultats.

Tous ces tests sont réalisés dans la modélisation A (3D).

La modélisation B permet de valider, toujours par inter-comparaison avec la loi de Chaboche, les comportements monocristallins en 2D (C PLAN).

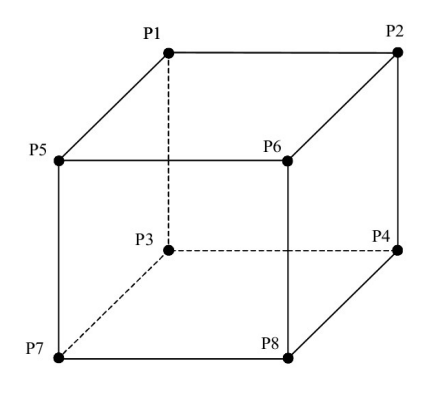
Date: 16/01/2012 Page: 2/9

Titre: SSNV172 - Comportements viscoplastiques monocrista[...]

Responsable : Jean-Michel PROIX Clé : V6.04.172 Révision : 8236

1 Problème de référence

1.1 Géométrie





On définit un point matériel, représenté dans la modélisation A (3D) par un élément de volume MAI, contenant les nœuds PI, P2, P3, P4, P5, P6, P7 et P8.

1.2 Propriétés de matériaux

Comportement élastique avec : Module d'Young : E = 145200 MPa

Coefficient de Poisson : v = 0.3

1.2.1 Calcul de référence : comportement VISC CIN1 CHAB

Il s'agit de la solution de référence utilisée dans les modélisations A et B. Les paramètres matériau sont :

1.2.2 Comportement mono-cristallin de type 1, avec système de glissement UNIAXIAL

Les paramètres utilisés ici, en uni-axial, correspondent à ceux utilisés pour ${\tt VISC_CIN1_CHAB},$ en remarquant simplement que $Q\!=\!R_I\!-\!R_0$. On doit donc obtenir les mêmes résultats que ${\tt VISC_CIN1_CHAB}.$

Ces comportements sont testés en 3D (dans la modélisation A) et en 2D contraintes planes (dans la modélisation B).

•Type d'écoulement : MONO VISC1 dont les paramètres sont :

$$c = 10 MPa$$
, $n = 10$, $K = 40 MPa$

Titre: SSNV172 – Comportements viscoplastiques monocrista[...] Date: 16/01/2012 Page: 3/9
Responsable: Jean-Michel PROIX Clé: V6.04.172 Révision: 8236

•Type d'écrouissage isotrope : MONO ISOT1 dont les paramètres sont :

$$R_0 = 75.5 \, MPa \, b = 19.34 \, Q = 9.77 \, MPa \, h = 0$$

•Type d'écrouissage cinématique : MONO_CINE1 dont les paramètres sont :

$$d = 36.68$$

La famille des systèmes de glissement est : UNIAXIAL

Deux calculs sont effectués : l'un avec intégration locale implicite, l'autre avec intégration locale explicite. On vérifie que ces deux calculs fournissent des résultats identiques (à la discrétisation temporelle près).

1.2.3 Comportement mono-cristallin de type 2, comparable au type 1,avec système de glissement UNIAXIAL

Le comportement du mono-cristal est défini de telle façon que l'on se ramène au comportement de type 1. Les résultats doivent donc correspondre. Les paramètres sont :

•Type d'écoulement : MONO VISC2 dont les paramètres sont :

$$n=10$$
, $k=40 MPa$, $c=10 MPa$, $d=0$, $a=0$

•Type d'écrouissage isotrope : MONO_ISOT2 dont les paramètres sont :

$$R_0 = 75.5$$
 $b_1 = 19.34$ $b_2 = 0$ $Q_1 = 9.77 MPa$ $Q_2 = 0$

•Type d'écrouissage cinématique : MONO CINE2 dont les paramètres sont :

$$d = 36.68$$
 $M = 0$ $m = 0$ $c = 0$

La famille des systèmes de glissement est : UNIAXIAL

Deux calculs sont effectués : l'un avec intégration locale implicite, l'autre avec intégration locale explicite. On vérifie que ces deux calculs fournissent des résultats identiques à ceux du comportement mono-cristallin de type 1.

1.2.4 Comportement mono-cristallin de type 2, test complet

Les paramètres du comportement du mono-cristal de type 2 sont tous non nuls :

•Type d'écoulement : MONO VISC2 dont les paramètres sont :

$$n=10$$
, $k=40 MPa$, $c=10 MPa$, $d=0.1$, $a=0.5$

•Type d'écrouissage isotrope : MONO ISOT2 dont les paramètres sont :

$$R_0 = 75.5$$
 $b_1 = 19.34$ $b_2 = 10$ $Q_1 = 9.77 MPa$ $Q_2 = 10$

•Type d'écrouissage cinématique : MONO_CINE2 dont les paramètres sont :

$$d = 36.68$$
 $M = 10$ $m = 0,1$ $c = 10$

La famille des systèmes de glissement est : UNIAXIAL. Les tests sont de non régression.

1.2.5 Calcul avec le comportement monocristal de type 1 et une élasticité orthotrope

Les paramètres de l'orthotropie correspondent en fait à l'isotropie :

Titre: SSNV172 – Comportements viscoplastiques monocrista[...] Date: 16/01/2012 Page: 4/9
Responsable: Jean-Michel PROIX Clé: V6.04.172 Révision: 8236

Les résultats doivent donc correspondre au calcul de référence. Deux calculs sont effectués : l'un avec intégration locale implicite, l'autre avec intégration explicite.

1.2.6 Calcul avec le comportement monocristal de type 1 et les systèmes de glissement du ZIRCONIUM

Cinq calculs sont effectués avec cette famille de systèmes de glissement :

- 1.un calcul de non régression avec la famille définie dans le code
- 2.un calcul comparatif au premier, en fournissant une table contenant la matrice d'interaction
- 3.un calcul comparatif aux précédents, avec un polycristal comportant un seul grain,
- 4.un calcul comparatif aux précédents, en fournissant cinq familles définies à partir d'une table contenant les systèmes de glissement. L'ensemble de ces systèmes correspond à la famille Zirconium. Ceci teste la possibilité de définir des coefficients matériau différents suivant les systèmes de glissement considérés,

5.un calcul identique au précédent, avec un polycristal comportant un seul grain.

1.2.7 Comportement Kocks-Rauch : mono-cristallin, avec système de glissement BCC24

Le comportement du monocristal est défini par l'écoulement : MONO_DD_KR dont les paramètres sont :

```
= 8.62E-5
TAUR
     = 498.,
TAU0 = 132.,
GAMMA0 = 1.E6
DELTAG0= 0.768,
BSD = 2.514E-5,
      = 31.822,
GCB
KDCS = 22.9,
      = 0.335,
      = 1.12,
Q
      = 0.25,
Н1
Н2
      = 0.25,
нЗ
      = 0.25,
H4
      = 0.25
```

Trois calculs sont effectués avec ce comportement :

- 1) Un calcul MONOCRISTAL implicite
- 2) Un calcul MONOCRISTAL explicite
- 3) Un calcul POLYCRISTAL explicite, avec une seule phase

Ces trois calculs doivent conduire aux mêmes résultats.

1.3 Conditions aux limites et chargements

```
Noeud P4 : DX = DY = 0
Noeud P8 : DX = DY = DZ = 0
```

Noeuds P2 et P6 : DX = 0

Nœuds P1, P3, P5 et P7 : soit FX = 25, soit DX = 0.001

Le chargement en force imposée est croissant de FX=0 à $FX=25\times0.755\,N$, en un incrément, ce qui conduit à un état de contraintes uniaxial de $75.5\,MPa$ (limite de linéarité)

Le chargement croit ensuite jusqu'à $FX = 25 \times 0.955 N$ en n incréments. Le calcul de référence est obtenu avec n = 100. Les calculs monocristallins sont effectués avec n = 20.

En ce qui concerne les comportements $MONO_VISC2$ et $MONO_DD_KR$, le chargement est un déplacement imposé variant de 0, à l'instant initial, à 0.001 à l'instant 2, en m incréments.

Responsable : Jean-Michel PROIX

Date : 16/01/2012 Page : 5/9 Clé : V6.04.172 Révision : 8236

Pour les résolutions implicites, m=20, et pour les résolutions explicites, m=100.

Pour la modélisation B le chargement est un déplacement imposé variant de 0, à l'instant initial, à 0.001 à l'instant 3, en 20 incréments.

Date: 16/01/2012 Page: 6/9 Responsable: Jean-Michel PROIX Clé: V6.04.172 Révision: 8236

Solution de référence 2

2.1 Méthode de calcul

En 3D, (modélisation A), le premier calcul (comportement VISC CIN1 CHAB) sert de référence. Les valeurs obtenues au dernier incrément sont (en n'importe quel point de la maille) :

Contrainte -9.55E+01 SIXX Déformation totale -6.76443E-04 EPXXDéformation plastique EPXX-1.87292E-05

Les calculs avec MONO ISOT1 ou les premiers calculs avec MONO ISOT2sont validés par comparaison à ce résultat ou par inter-comparaison.

Par contre, les autres calculs (comportements MONO VISC2, MONO_DD_KR) n'ont pas de valeur de référence. Les tests sont donc de non-régression. De plus, les cinq calculs correspondant au Zirconium n'ont pas de solution de référence mais doivent donner une seule et même solution.

En 2D, (modélisation B), le premier calcul (comportement VISC CIN1 CHAB) sert de référence. Les valeurs obtenues au dernier incrément sont (en n'importe quel point de la maille, car on impose une déformation uniforme):

Contrainte 95.999316 SIXX

Les deuxième et troisième calculs (comportement MONOCRISTAL avec système de glissement UNIAXIAL) sont validés par comparaison à ce résultat.

Le troisième calcul utilise une intégration explicite (RUNGE KUTTA), alors que le deuxième calcul utilise une intégration implicite.

Date: 16/01/2012 Page: 7/9 Responsable: Jean-Michel PROIX Clé: V6.04.172 Révision: 8236

3 Modélisation A

3.1 Caractéristiques du maillage

Nombre de nœuds : 8. Modélisation 3D : 1 élément de volume quadratique : HEXA8. La structure contient un seul grain, l'état de contraintes et de déformations est homogène.

3.2 Grandeurs testées et résultats

3.2.1 Comportement de type 1: MONO VISC1, MONO ISOT1, MONO CINE1

Intégration	Identification	Référence	% Tolérance
implicite	$arepsilon_{xx}$ de EPSI_ELGA	-6.764427E-04	0.10
implicite	ε_{xx} de EPSP_ELGA	-1.87292E-05	2.0
explicite	ε_{xx} de EPSI_ELGA	-6.764427E-04	0.2
explicite	ε_{rr} de EPSP ELGA	-1.87292E-05	4.0

3.2.2 Comportement de type 2 : MONO_VISC2 , MONO_ISOT2 , MONO_CINE2

Comparaison entre MONO VISC2 , MONO ISOT2 , MONO CINE2 et MONO VISC1, MONO ISOT1, MONO CINE1

Intégration	Identification	Référence	% Tolérance
implicite	$arepsilon_{xx}$ de <code>EPSI_ELGA</code>	-6.76241E-04	0.10
implicite	$arepsilon_{xx}$ de <code>EPSP_ELGA</code>	-1.85279E-05	0.10
explicite	$arepsilon_{xx}$ de <code>EPSI_ELGA</code>	-6.757537E-04	0.10
explicite	ε_{rr} de EPSP ELGA	-1.804038E-05	0.10

3.2.3 Comportement de type 2: MONO VISC2, MONO ISOT2, MONO CINE2

Non régression pour MONO VISC2, MONO ISOT2, MONO CINE2

Intégration	Identification	Référence	% Tolérance
implicite	$\sigma_{\scriptscriptstyle xx}$ de <code>EPSI_ELGA</code>	-95.9311	0.10
implicite	ε_{xx} de EPSP_ELGA	-1.3393175E-03	0.10

Comportement de type 1 avec ELAS ORTH

Comparaison entre MONO VISC1, MONO ISOT1, MONO CINE1, avec ELAS et avec ELAS ORTH

Intégration	Identification	Référence	% Tolérance
implicite	ε_{xx} de EPSI_ELGA	-6.76241E-04	0.10
explicite	ε_{xx} de EPSI ELGA	-6.75754E-04	0.10

3.2.5 Comportement de type 1: MONO VISC1, MONO ISOT1, MONO CINE1 pour le **ZIRCONIUM**

Premier calcul: matrice d'interaction (matrice identité h=0) et systèmes de glissement définis dans Code_Aster:

Titre : SSNV172 – Comportements viscoplastiques monocrista[...]

Responsable : Jean-Michel PROIX

Date : 16/01/2012 Page : 8/9

Clé : V6.04.172 Révision : 8236

Intégration	Identification	Référence	% Tolérance
Implicite	$\sigma_{\scriptscriptstyle xx}$ de <code>SIEF_ELGA</code>	-212.31	0.1
implicite	$arepsilon_{xx}$ de <code>EPSP_ELGA</code>	-5.3785E-04	0.1
implicite	v_{92} de VARI_ELGA	5.2868E-04	0.1

Deuxième calcul : systèmes de glissement définis dans Code_Aster, matrice d'interaction définie par l'utilisateur (matrice identité, fournie en donnée dans une table). Comparaison avec le premier calcul.

Intégration	Identification	Référence	% Tolérance
Implicite	$\sigma_{\scriptscriptstyle xx}$ de <code>SIEF_ELGA</code>	-212.3	0.1
implicite	ε_{xx} de EPSP_ELGA	-5.3785E-04	0.1
implicite	$ u_{92}$ de vari elga	5.2868E-04	0.1

Troisième calcul : systèmes de glissement définis dans Code_Aster, matrice d'interaction définie par l'utilisateur (matrice identité, fournie en donnée dans une table), et comportement POLYCRISTAL :

Intégration	Identification	Référence	% Tolérance
Polycristal	$\sigma_{_{xx}}$ de <code>SIEF_ELGA</code>	-212.3	0.1
Polycristal	$arepsilon_{xx}$ de EPSP_ELGA	-5.3785E-04	0.1
Polycristal	$ u_{99}$ de vari elga	5.2868E-04	0.1

Quatrième calcul : systèmes de glissement et matrice d'interaction définis par l'utilisateur :

Intégration	Identification	Référence	% Tolérance
Implicite	$\sigma_{\scriptscriptstyle xx}$ de <code>SIEF_ELGA</code>	-212.3	0.1
implicite	ε_{xx} de EPSP_ELGA	-5.3785E-04	0.1
implicite	${ u_{92}}$ de vari elga	5.2868E-04	0.1

Cinquième calcul : systèmes de glissement et matrice d'interaction définis par l'utilisateur, et comportement POLYCRISTAL (une seule phase, pour permettre la comparaison avec les calculs précédents) :

Intégration	Identification	Référence	% Tolérance
Polycristal	$\sigma_{\scriptscriptstyle {\it xx}}$ de <code>SIEF_ELGA</code>	-212.3	0.1
Polycristal	$arepsilon_{xx}$ de EPSP_ELGA	-5.3785E-04	0.3
Polycristal	v_{99} de VARI_ELGA	5.2868E-04	0.8

3.2.6 Comportement: MONO_DD_KR

Intégration	Identification	Référence	% Tolérance
implicite	$\sigma_{\scriptscriptstyle {\it xx}}$ de <code>SIEF_ELGA</code>	-324.37	0.40
implicite	ε_{xx} de EPSP_ELGA	-8.1822E-04	0.20
explicite	$\sigma_{\scriptscriptstyle {\it xx}}$ de <code>SIEF_ELGA</code>	-324.37	0.40
explicite	ε_{xx} de EPSP_ELGA	-8.1822E-04	0.05
Polycristal	$\sigma_{\scriptscriptstyle xx}$ de <code>SIEF_ELGA</code>	-324.37	0.40
Polycristal	ε_{xx} de EPSP ELGA	-8.1822E-04	0.05

Date: 16/01/2012 Page: 9/9 Responsable : Jean-Michel PROIX Clé: V6.04.172 Révision: 8236

Modélisation B 4

4.1 Caractéristiques du maillage

Nombre de nœuds : 4. 1 maille QUAD4.

Modélisation C PLAN (par la méthode DEBORST).

4.2 Grandeurs testées et résultats

Deuxième calcul (implicite, MONO_VISC1, MONO_ISOT1, MONO_CINE1)

Identification	Référence	% Tolérance
σ_{rr} de SIEF ELGA	-95.9993	0.10

Troisième calcul (explicite, mono visci, mono isoti, mono cinei)

Identification	Référence	% Tolérance
$\sigma_{\scriptscriptstyle xx}$ de SIEF_ELGA	-95.9993	0.10

Synthèse des résultats 5

Les résultats obtenus sont en bon accord avec la solution de référence. La différence constatée (3.6% au maximum) provient des schémas numériques différents, sensibles à la discrétisation temporelle.